

**BEYİN KORTEKSİ PİRAMİDAL NÖRONLARININ AKSONAL İLETİ HİZLARINA GÖRE SINIFLANDIRILMASI VE AKSİYON POTANSİYELİ**

### **ÖZELLİKLERİ (x)**

**Üner Tan**  
**Atatürk Üniversitesi, Tıp Fakültesi, Fizyoloji Kürsüsü - Erzurum**

**ÖZET:** Pentobarbital ile anestezisi edilmiş kedilerde 470 piramidal hücrede eksterasellüler olarak kaydedilmiş olan antidromik aksiyon potansiyellerinin özellikleri araştırıldı. Piramidal nöronlar piramidlerden antidromik olarak uyarıldı. Piramidal traktus hücrelerinin aksiyon potansiyeli amplitüdü ile bunların antidromik latensleri arasında ters orantılı ilişki bulundu. Antidromik aksiyon potansiyelinin süresi antidromik latensin linear bir fonksiyonu idi. Piramidal nöron aksiyon potansiyelinin amplitüdü ile süresi arasında negatif korelasyon tespit edildi.

*Antidromik uyarılma latenslerine göre üç gurup piramidal nöron bulundu; gurup I (büyük, iletisi hızı yüksek), gurup II (orta büyük, orta iletisi hızlı), gurup III (küçük, yavaş iletisi hızlı). Bu guruplarda bulunan nöronların aksonal iletisi hızları şöyle idi: gurup I: 25,26-106,7 m/sn, gurup II: 11,16-22,97 m/sn; gurup III: 6,05-11,14 m/sn. Mikroelektrodun beyin korteksine batırılmasından önce piramidal traktusun uyarılması esnasında iki dalga beyin yüzeyinden kaydedildi. Mikroelektrot beyine 150-200 mikron batırıldığında ise üç dalga kaydedildi. Bu dalgaların latenslerinin üç gurup piramidal nöron ile aynı olduğu izlendi. Bu sonuçlar, kortikal, spinal ve müsküler motor birimler arasında fonksiyonel ve hücre büyütüğü yönünden ilişkiler olduğunu göstermektedir.*

**GİRİŞ VE AMAÇ:** Beyin korteksinde bulunan piramidal traktus nöronlarının hassas motor kontrol ile ilgili oldukları genel olarak kabul edilmektedir. Motor kontrolun "output" elemanlarını oluşturan iskelet kasları, morfolojik, histokimyasal ve fonksiyonel yönden farklı çeşitli motor birimlerden yapılmışlardır. Elektrofiziolojik araştırmalar, medyal gastroknemius kasını oluşturan motor birimlerin üye ayıla-

(x) Bu çalışma Türkiye Bilimsel ve Teknik Araştırma Kurumu tarafından desteklenmiştir.  
(Proje No. TAG-349).

bileceğini gösterdi: FF (hızlı kasılan, çabuk yorulan), FR (hızlı kasılan, yorulmayan) ve S (yavaş kasılan, hiç yorulmayan). Bu sınıflandırma Burke ve ark. (1) tarafından yapıldı ve genel olarak kabul edildi. Medyal gastroknemius kası kalın, orta ve ince kas liflerinden yapılmıştır. Bu lifler, sırası ile, adenozin trifosfataz boyası ile soluk, orta ve koyu olarak boyanırlar (2). Tan (3) ve Tan, Yörük, Ridvanağaoğlu (4), bu sınıflandırmaya uygun olarak, bu motor birimleri innerve eden motonöronlarında büyük, orta ve küçük olmak üzere ayrılabileceğini gösterdiler.

Yukarda açıklanan bulgular, spinal ve müsküler motor birimler arasında fonksiyonel ve morfolojik yönlerden ilişkiler olabileceğini düşündürmektedir. Motor birimlerin kontraktıl ve histokimyasal özellikleri arasında ilişkiler bulunduğu ve motor birimlerin kontraktıl ve histokimyasal özelliklerinin motor nöronlar tarafından belirlenebileceğine ilişkin bulgular mevcuttur. Örneğin, Bessou ve ark. (5) kedide lumbrikal kasların çabuk iletken aksonlarının hızlı kasılan motor birimleri innerve ettiğini gösterdiler. Bagust ve ark. (6) da flexor digitorum longus kasında motor birim kontrasyon hızı ile aksonal ileti hızı arasında ters ilişkili bir bağıntı olduğunu buldular. Bu araştırmalar, motor birimlerin fonksiyonel ve morfolojik özelliklerinin motor nöronlar tarafından belirlendiğini gösteriyorlar. Buller ve ark. (7) motonöronların motor birimlerin kontraktıl özelliklerinin belirlenmesinde önemli rol oynadıklarını tespit ettiler. Bu çalışmaların dışında hücre büyülüğünün motonöronal output paternini etkilediğine ilişkin önemli çalışmalarda vardır (2,8,3,4).

Spinal ve müsküler motor birimlerin morfolojik ve fonksiyonel ilişkilerinin işiğinde, piramidal traktus nöronlarının da motonöronlar gibi fonksiyonel ve morfolojik özelliklere sahip oldukları düşünülebilir. Bu hipoteze uygun olarak, motonöronlarda olduğu gibi, piramidal nöronların küçük, orta ve büyük olarak üç guruba ayrılabilcegi ve bunların fonksiyonel özelliklerininde farklı olacağı önceden kestirilebilir. Şimdiye kadar yapılan elektrofizyolojik araştırmalarda büyük ve küçük olmak üzere iki gurup piramidal nöron ayırdedildi. Ancak morfolojik araştırmalarda küçük, orta ve büyük olarak üç gurup piramidal nöron bulundu. Elektrofizyolojik araştırmalar ile morfolojik çalışmalar arasındaki bu fark nedeni ile, piramidal traktus nöronlarını aksonal ileti hızlarına göre dağılımını yeniden araştırmayı uygun bulduk. Aksonal ileti hızı hücre büyülüğü için bir indeks olarak kabul edildi. Bu yöntem ile, çalışmanın girişinde belirtilen hipoteze göre, kortikal, spinal ve müsküler sistemler arasındaki ilişkiler irdeledi.

**MATERIAL VE METOD:**

Deneysel, pentobarbital ile anesteziye edilmiş olan 12 kedide yapıldı. Sol tarafta femoral ven ve arter kanüle edildiler. Arteryel kanül bir civalı manometreye bağlanarak deney süresince sistemik kan basıncı izlendi. Venöz kanül ise, gerekli

maddelerin enjeksiyonu için kullanıldı. Tracheotomiden sonra farinks açıldı ve bulbar piramitler oksipital kemikten açılan bir delik ile görülür hale getirildiler. Burada duramater açıldı ve piramitler  $37^{\circ}\text{C}$  ta sıvı parafin ile kaplandılar. Beyin pulsasyonlarını azaltmak için sisternal drenaj ve bilateral pnömotoraks uygulandı. Deney hayvanı gallamin triiodid ile immobilize edildi ve solunum bir solunum pompası yardımı ile sürdürdü. Uyarıcı elektrotlar sol taraftaki piramidin üzerinde longitudinal olarak yerleştirildi. Bu elektrotlar yardımı ile piramidal nöronlar antidromik olarak uyarıldılar.

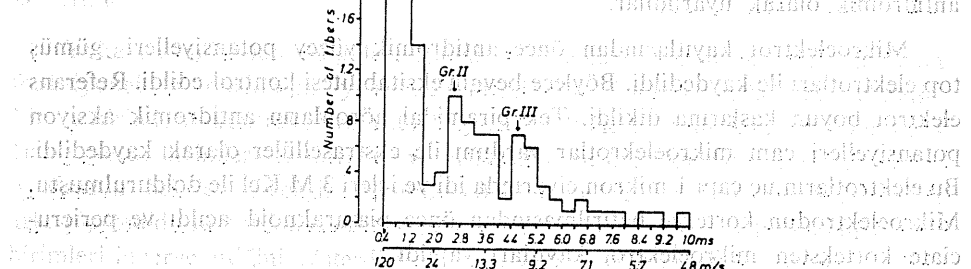
Mikroelektrot kayıtlarından önce, antidromik yüzey potansiyelleri gümüş top elektrotları ile kaydedildi. Böylece beynin eksitabilitesi kontrol edildi. Referans elektrot boyun kaslarına dikildi. Tek piramidal nöronların antidromik aksiyon potansiyelleri cam mikroelektrotlar yardımı ile ekstrasellüler olarak kaydedildi. Bu elektrotların uç çapı 1 mikron civarında idi ve içleri 3 M KCl ile doldurulmuştu. Mikroelektrodun kortekse batırılmasından önce pia-araknoid açıldı ve pericruicate korteksten mikroelektrot kayıfları yapıldı.

Piramidal nöronların identifikasiyonu için konvensiyonel kriterler kullanıldı. Bu hücreler antidromik piramidal stimülasyona sabit latens ile cevap veriyordular ve 70-100 Hz arasındaki uyarılma frekanslarında 1:1 deşarj yapıyordular. Piramidal nörona yaklaştıkça ekstrasellüler aksiyon potansiyeli amplitüdü büyuyordu. En yüksek amplitüdü potansiyeller analiz için kullanıldı. Osiloskop trasseleri teype kaydedildi ve deneyden sonra tekrar osiloskopa verilerek fotoğrafları çekildi ve amplitüd-latens analizleri yapıldı. Her deneyde uyarıcı elektrot ile kaydedici elektrot arasındaki uzaklık ölçüldü. Her hücrenin aksonal ileti hızı hesaplandı. Elde edilen verilerden latens histogramları yapıldı ve latens gurupları arasındaki farklılar student T-testi ile irdelendi.

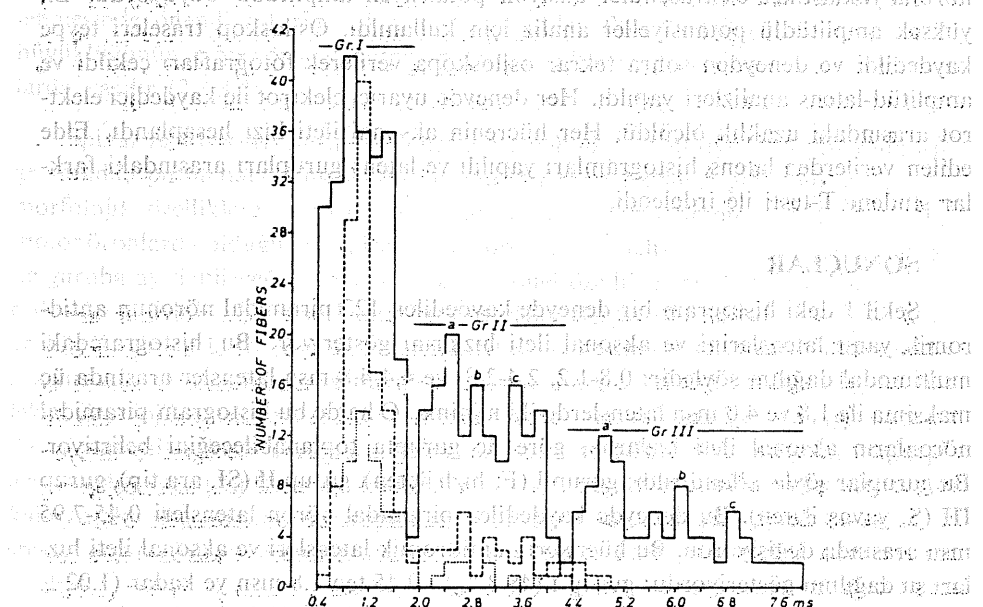
## SONUÇLAR

Şekil 1 deki histogram bir deneyde kaydedilen 123 piramidal nöronun antidromik yanıt latenslerini ve aksonal ileti hızlarını gösteriyor. Bu histogramdaki multimodal dağılım söyledir: 0.8-1.2, 2.4-2.8, ve 4.4-4.8 msn latensler arasında üç maksima ile 1,8 ve 4,0 msn latenslerde iki minima. O halde bu histogram piramidal nöronların aksonal ileti hızlarına göre üç gurupta toplanabileceğini belirtiyor. Bu guruplar şöyle adlandırıldı; gurup I (F, hızlı iletan), gurup II (SI, ara tip), gurup III (S, yavaş iletan). Bu deneyde kaydedilen piramidal nöron latensleri 0.45-7.95 msn arasında değişiyordu. Bu hücrelerin antidromik latensleri ve aksonal ileti hızları şu dağılımı gösteriyordu; gurup I ( $48.8\%$ ) - 0,45 ten 1,8 msn ye kadar ( $1.02 \pm 0.3$ ),  $26.7-106.7$  m/sn (ortalama  $52.84 \pm 18.88$ ), gurup II (% 30.9) 2,0 den 4,2 msn ye kadar (ortalama  $3.07 \pm 0.6$ ,  $11.6-24.0$  m/sn (ortalama  $16.28 \pm 3.34$ ), gurup III (% 20,3); 4,3 ten 7,95 msn (ortalama  $5.5 \pm 0.98$ ),  $6.0-11.2$  m/sn (ortalama  $9.12$ ). Bu guruplar arasındaki ortalama latens değerleri birbirlerinden istatistiksel olarak anlamlı ölçüde farklı bulundu ( $P < 0.001$ ).

İnd. Şekil 1 deki histogram sadece bir deneydeki değerlerden elde edilmişti. Şekil 2 de ise toplam 470 piramidal nöronun aksonal ileti hızlarını gösteren histogram çizildi. Böylece, tüm populaşona ilişkin sonuç çıkmak mümkün oldu. Nok-



Şekil 1. Bir deneyde ipsilateral piramidin uyarılması esnasında motor korteksten kaydedilen aksiyon potansiyellerinin latens ve aksonal ileti hızını gösteren histogram. Oklar, üç gurubun tepe noktalarını göstermektedirler.



Şekil 2. Ipsilateral piramidin uyarılması esnasında motor korteksten kaydedilen 470 piramidal nöron aksiyon potansiyelinin latens ve aksonal ileti hızı histogramı. Horizontal çizgiler, üç ayrı gurubu gösteriyor; a,b ve c sub gurupları işaret ediyor. Noktalı ve çizgili histogramlar diğer araştırmacıların çalışmalarından alınan histogramlardır (açıklama metinedir).

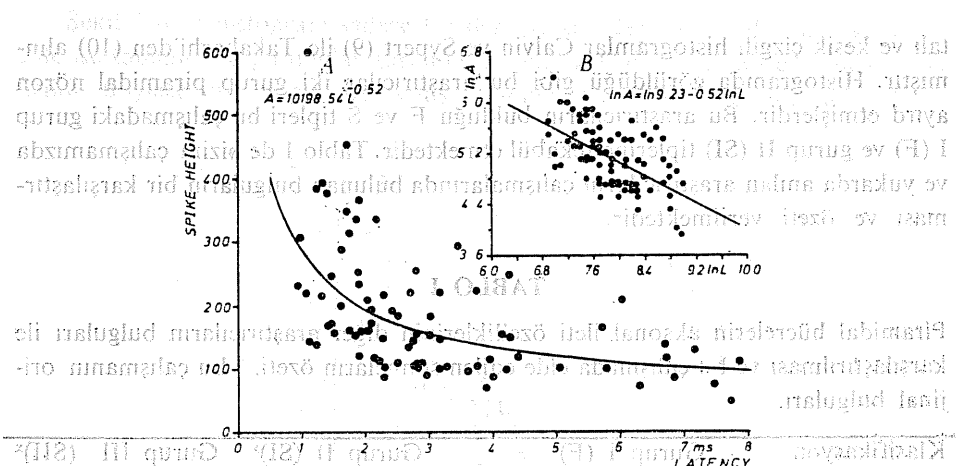
tali ve kesik çizgili histogramlar Calvin ve Sypert (9) ile Takahashi'den (10) almıştır. Histogramda görüldüğü gibi bu araştırcılar iki gurup piramidal nöron ayırd etmişlerdir. Bu araştırcıların bulduğu F ve S tipleri bu çalışmada gurup I (F) ve gurup II (SI) tiplerine tekabül etmektedir. Tablo 1 de bizim çalışmamızda ve yukarıda anılan araştırcıların çalışmalarında bulunan bulguların bir karşılaştırması ve özeti verilmektedir.

**TABLO I**

Piramidal hücrelerin aksonal ileti özelliklerinin diğer araştırcıların bulguları ile karşılaştırılması ve bu çalışmada elde edilen sonuçların özeti. <sup>x</sup> bu çalışmanın orijinal bulguları.

Klasifikasiyon	Gurup I (F) <sup>x</sup>	Gurup II (SI) <sup>x</sup>	Gurup III (SII) <sup>x</sup>
Antidromik latens (msn)	0.45-1.9 <sup>x</sup> 0.5-2.3(10) Hızlı (25) Erken deşarj (14)	2.09-4.2 <sup>x</sup> 2.3-5.0 (10) Yavaş "B" (10) Yavaş (25)	4.24-7.95 <sup>x</sup>
Artidromik latens (tepe noktası msn)	0.45-1.9 <sup>x</sup> 0.5-2.3(10) Hızlı (25) Erken deşarj (14)	2.09-4.2 <sup>x</sup> 2.3-5.0 (10) Yavaş "B" (10) Yavaş (25)	4.24-7.95 <sup>x</sup>
Artidromik latens (msn)	0.9 <sup>x</sup> 1.1 (10) 1.1 (13)	2.7 (10) 2.9 (13)	4.19-7.16 <sup>x</sup>
Antidromik latens (msn)	1.06 <sup>x</sup> 25.26-106.7 <sup>x</sup> 21 (10) 21.4-76.0 (26)	3.03 <sup>x</sup> 11.16-22.97 <sup>x</sup> 21 (10) 7.6-18.2 (26)	5.76 <sup>x</sup> 6.05-11.14 <sup>x</sup>
Oran (%)	49.35 <sup>x</sup> 80 (10) 81 (9) 64 (27)	31.48 <sup>x</sup> 20 (10) 19 (9) 34 (27)	19.14 <sup>x</sup> 100.0 100.0 100.0

Sekil 3, piramidal hücrelerin antidromik aksiyon potansiyeli latensi ile ekstraselüler kaydedilen amplitüdü arasındaki ilişkiyi gösteriyor. A da görüldüğü gibi, amplitüd-latens arttıkça azalmaktadır. Aradaki bu bağıntı diagramının sağ üst köşesinde gösterildiği gibi üssel fonksiyon ile ifade edilebilir. Buna ilişkin ilişki sol üst köşede gösterilmiştir. Korelasyon koefisi yentif çok anlamlı bulunduğu ( $P < 0.001$ ).



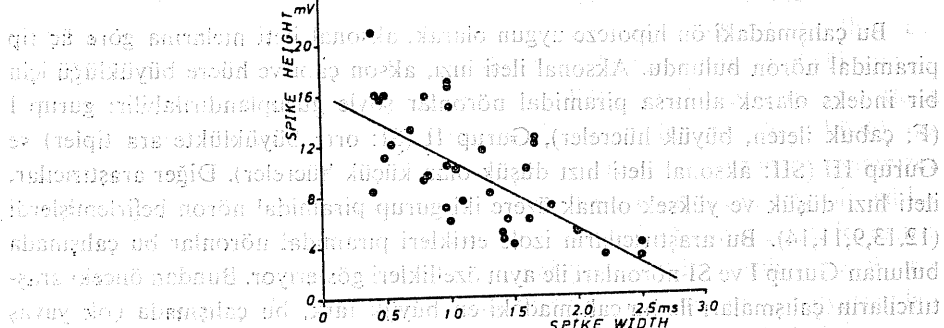
Şekil 3. A- piramidal nöronlarınextrasellüleraksiyonpotansiyeliyüksekliğiilelatensleriarasındakiilişki, B- aynı diyagram, ancak üssel fonksiyonunlineärşekletransformasyondansonra.

Antidromik olarak oluşturulan piramidal nöron aksiyon potansiyellerinin amplitüdlerinin ortalama değerleri şöyle bulundu: gurup I için  $259,113 \pm 112,93$ ; gurup II için  $156,6 \pm 6,93$  ve gurup III için  $120,0 \pm 54,186$  ünit. Guruplar arasında fark istatistiksel olarak önemli derecede anlamlı bulundu ( $P < 0,001$  gurup I ve II için;  $P < 0,05$  gurup III ve I için).

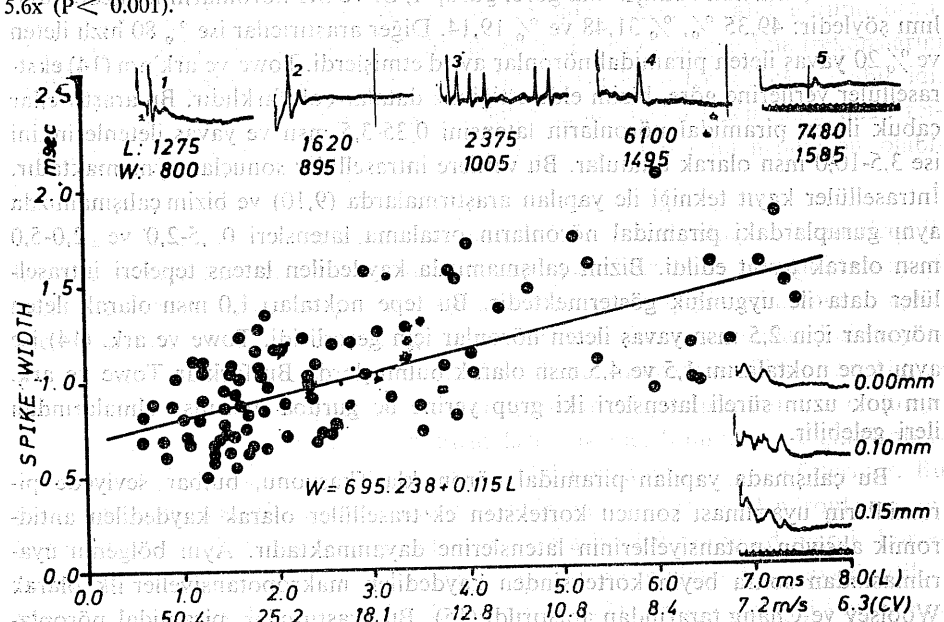
Şekil 4 te antidromik piramidal aksiyon potansiyeli amplitüdü ile aksiyon potansiyeli süresi arasındaki ilişkiyi gösteriyor. Göründüğü gibi bu iki değişken arasında negatif bir korelasyon vardır.

Şekil 5, antidromik olarak aktive edilen piramidal nöronun latensi ile extrasellüler aksiyon potansiyeli amplitüdü arasındaki ilişkiyi gösteriyor. Regresyon analizi sonucu, aksiyon potansiyelinin latensi ile süresi arasında doğru orantılı bir bağıntı bulunduğu ortaya çıktı. Bu bağıntı piramidal nöron aksiyon potansiyelinin süresi ile aksonal-ilet hızı arasında ters orantılı bir ilişki olduğunu göstermektedir. Bu bağıntının korelasyon koefisi istatistiksel olarak önemli bulundu ( $P < 0,001$ ). Piramidal nöron aksiyon potansiyellerinin ortalama süreleri şöyle idi; gurup I için  $855,41 \pm 208,4$ ; gurup II için  $1064,758 \pm 282,87$  ve gurup III için  $1400 \pm 341,6$  mikro saniye. Bu değerlerin birbirinden farklı istatistiksel olarak önemli bulundu ( $P < 0,001$  gurup II ve I için;  $P < 0,001$  gurup III ve II için).

Mikroelektrot beyin yüzeyinde iken iki yüzeyel dalgalar kaydedildi. Ancak, mikroelektrot 100-150 mikron derine batırıldığında, üç yavaş dalgalar kaydedildi. Bu dalgalar Şekil 4 te alt sağ köşede görülmektedir. Bu dalgaların zaman süreci üç gurup piramidal nöronun latensi ile çakışmaktadır. Şekil 5 te çeşitli guruplarda bulunan piramidal nöronlara ait aksiyon potansiyellerinin orijinal traseleri görülmektedir. 2 ve 3 numaralı traselerdeki küçük aksiyon potansiyelleri/muhtemelen



**Şekil 4.** Piramidal hücrelerin aksiyon potansiyeli süresi ile yüksekliği arasında ilişki.  $A = 16.48 - 5.6x$  ( $P < 0.001$ ).



**Şekil 5.** Antidromik olarak aktive edilen piramidal nöronların latensi ile aksiyon potansiyeli süresi arasındaki pozitif korelasyon. Yukarda gurup I (1 ve 2 nolu traseler), II (3 nolu trase) ve III (4 ve 5 nolu traseler) nöronlarına ilişkin aksiyon potansiyelleri gösterilmiştir. Latens: L, süre: W. Altta aşağıda, kortikal yüzeyden kaydedilen yüzey dalgaları ve aynı şeyle mikroelektrode kortekse batırılmasından sonra (üç dalga). Uyarın şiddeti sabit tutulmuştur. Alt sağda, LATENCY (ms) değerleri: L: 1275, 1620, 2375, 6100, 7480; W: 800, 895, 1005, 1495, 1585. Üst sağda, LATENCY (ms) değerleri: 0.00mm, 0.10mm, 0.15mm, 0.20mm, 0.30mm, 0.40mm, 0.50mm, 0.60mm, 0.70mm, 0.80mm, 0.90mm, 1.00mm, 1.10mm, 1.20mm, 1.30mm, 1.40mm, 1.50mm, 1.60mm, 1.70mm, 1.80mm, 1.90mm, 2.00mm, 2.10mm, 2.20mm, 2.30mm, 2.40mm, 2.50mm, 2.60mm, 2.70mm, 2.80mm, 2.90mm, 3.00mm, 3.10mm, 3.20mm, 3.30mm, 3.40mm, 3.50mm, 3.60mm, 3.70mm, 3.80mm, 3.90mm, 4.00mm, 4.10mm, 4.20mm, 4.30mm, 4.40mm, 4.50mm, 4.60mm, 4.70mm, 4.80mm, 4.90mm, 5.00mm, 5.10mm, 5.20mm, 5.30mm, 5.40mm, 5.50mm, 5.60mm, 5.70mm, 5.80mm, 5.90mm, 6.00mm, 6.10mm, 6.20mm, 6.30mm, 6.40mm, 6.50mm, 6.60mm, 6.70mm, 6.80mm, 6.90mm, 7.00mm, 7.10mm, 7.20mm, 7.30mm, 7.40mm, 7.50mm, 7.60mm, 7.70mm, 7.80mm, 7.90mm, 8.0(L), 8.1(CV), 8.2(CV), 8.3(CV), 8.4(CV)). Bu potansiyeller sabit latensi göstermiyorlar ve nembutal den sonra aktive edilememiştir. 1, 2, 3 ve 4 nolu traselerdeki latensler, gurup I, II, III ve IV te bulunan nöronlارına aittir. Bu traselerde de açık olarak görüldüğü gibi piramidal nöron aksiyon potansiyelinin latensi arttıkça genişliği (süresi) de artmaktadır.

## TARTIŞMA

Bu çalışmadaki ön hipoteze uygun olarak, aksonal ileti hızlarına göre üç tip piramidal nöron bulundu. Aksonal ileti hızı, akson çapı ve hücre büyülüğu için bir indeks olarak alınırsa piramidal nöronlar şöyle guruplandırılabilir: gurup I (F: çabuk iletken, büyük hücreler), Gurup II (SI: orta büyüklükte ara tipler) ve Gurup III (SII: aksonal ileti hızı düşük olan küçük hücreler). Diğer araştırmacılar, ileti hızı düşük ve yüksek olmak üzere iki gurup piramidal nöron belirlemişlerdi (12,13,9,11,14). Bu araştırmacıların izole ettiğleri piramidal nöronlar bu çalışmada bulunan Gurup I ve SI nöronları ile aynı özellikleri gösteriyor. Bundan önceki araştırmacıların çalışmaları ile bu çalışmadaki en büyük fark, bu çalışmada çok yavaş iletken aksonlu gurup SII nöronlarının bulunmasıdır.

Bu araştırmacıların sonuçlarına göre, gurup I, SI ve SII nöronlarının yüzde dağılımı şöyledir: 49,35 %, % 31,48 ve % 19,14. Diğer araştırmacılar ise % 80 hızlı iletken ve % 20 yavaş iletken piramidal nöronlar ayırdı etmişlerdi. Towe ve ark'nın (14) ekstrasellüler verilerine göre, bizim elde ettigimiz datalar çok farklıdır. Bu araştırmacılar çabuk iletken piramidal nöronların latensini 0,35-3,5 msn ve yavaş iletkenlerinkini ise 3,5-10,0 msn olarak buldular. Bu verilere intrasellüler sonuçlar uyumamaktadır. Intrasellüler kayıt tekniği ile yapılan araştırmalarda (9,10) ve bizim çalışmamızda aynı guruplardaki piramidal nöronların ortalama latensleri 0,5-2,0 ve 2,0-5,0 msn olarak tesbit edildi. Bizim çalışmamızda kaydedilen latens tepleri intrasellüler data ile uygunluk göstermektedir. Bu tepe noktaları 1,0 msn olarak iletken nöronlar için 2,5 msn yavaş iletken nöronlar için geçerli idi. Towe ve ark. (14) ise aynı tepe noktalarını 1,5 ve 4,5 msn olarak bulmuşlardır. Bu farklar Towe ve ark. nin çok uzun süreli latensleri iki grup yerine üç guruba ayırmış olmalarından ileri gelebilir.

Bu çalışmada yapılan piramidal nöron klasifikasyonu, bulbar seviyede piramitlerin uyarılması sonucu korteksten ektrasellüler olarak kaydedilen antidiromik aksiyon potansiyellerinin latenslerine dayanmaktadır. Aynı bölgenin uyarılmasından sonra beyin korteksinden kaydedilen makropotansiyeller ilk olarak Woolsey ve Chang tarafından araştırıldı (15). Bu araştırmacılar, piramidal nöronların antidiromik aktivasyonundan kaynaklanan iki tip dalga kaydettiler. Bu dalgalar yavaş ve hızlı iletken nöronlara tekabül ediyordu. Bu dalgalar daha sonra jabbur ve Towe tarafından (16) alfa ve beta olarak adlandırıldılar ve diğer araştırmacılar tarafından sıklıkla izlendiler (11, 12, 12). Bu bulgulara uygun olarak bu çalışmada mikroelektrot beyine girmeden önce beyin yüzeyinden iki dalga kaydedildi. Ancak mikroelektrot beyin korteksine 100-150 mikron girdikten sonra üç dalga kaydedildi. Bu üçüncü dalga, aksiyon potansiyelleri görülmeye başladiktan sonra kayboldu. Muhtemelen gurup SII nöronları bu dalganın oluşumuna katkıda bulunuyor. Bu dalgayı oluşturan küçük nöronların apikal dendritleri çok kısa ve ince olduğundan konteks yüzeyinden bu nöronların dendritlerinde meydana gelen yavaş potansiyeller kaydedilememektedir.

Yüzeyel makro kayıtlar, mikroelektrot kayıtlarına göre, kortikal nöronların klasifikasyonu için daha az uygundurlar. Ancak, mikroelektrot kayıtları büyük hücrelerin aksiyon potansiyellerini daha kolay kaydetmekte ve küçük nöronların bulunabilme olasılığı azalmaktadır. Intrasellüler ve ekstrasellüler kayıtlarla yapılan araştırmalar, morfolojik çalışmaların aksine, büyük nöronların küçük nöronlara oranla daha sıkılıkla bulunduğu gösteriyor. Ancak bizim çalışmamızda çok yavaş iletken gurup III nöronlarının önemi bir oran tuttuğu tespit edildi. Bu küçük hücreleri uyarabilmek için uyaran siddetinin önemi derecede artırılması gerekiyordu. Muhtemelen bu esnada lemniskal yollarda uyarılıyordu. Bu denle antidromik olarak uyarılan piramidal nöronları sinaptik olarak uyarılanlardan ayırdı edebilmek için büyük çaba harcandı. Deney hayvanı çok derin anestezide altında tutuldu ve böylece sinaptik aktivasyon önlenmeye çalışıldı. Antidromik olarak aktive edilen piramidal nöronların latensinde oldukça stabil görünüyordu. Özellikle küçük piramidal nöronlar 70-100 Hz'in üzerindeki uyarılma frekansları ile güçlü takip edebiliyorlardı. Ancak bu hücrelerin latensleri oldukça stabil idi. Genel olarak, yavaş iletken piramidal nöronlar çabuk iletkenlerden daha uzun refleks karakter periyot göstermektedirler. Yukarda açıklanan bulgumun nedeni bu olabilir.

Bizim klasifikasiyonumuza uygun olarak, Towe ve Harding (17), antidromik latens histogramlarında 640 piramidal nöron incelediler ve üç tepe noktası ayırdı ettiler. Ancak bu araştırcılar bu histogramlarında üç gurup piramidal nöron ayırdı edemediler; çünkü izlenen üç tepe arasında geniş birbirine geçiş alanları bulunuyordu. Bu nedenle herhangi bir istatistiksel analizde yapmadılar. Towe ve Handing'in bu gözlemlerine rağmen piramidal nöronlar iki gurupta mütala edilmeye devam edildi. Elektrofizyolojik araştırmaların aksine, Ramon y Cajal'dan beri (18) morfolojik çalışmalar üç gurup piramidal nöronun varlığını gösteriyor. Bu guruplarda bulunan nöronlar muhtemelen bizim gurup I, II ve III nöronlarına tekabül ediyorlar. Bununla ilgili olarak, Biber ve ark. (19) retrograd olarak horse-radish peroksidaz teknigini kullandılar ve üç tip piramidal nöron ayırdı ettiler: küçük, orta ve büyük. Aynı şekilde Gross ve ark. (21) da aynı teknigi kullanarak küçük orta ve büyük piramidal nöronların varlığını gösterdiler.

Cesitli büyülüklükte üç tip piramidal nöron gurubunun varlığı, spinal ve müsküler motor birim tiplerinin birbirleri ile ilişkisi yönünden önemli olabilir. Bu çalışmanın giriş bölümünde de belirtildiği gibi, hücre büyülüğüne bağlı olarak izlenen piramidal nöron deşarj paterni, üç tip motor birimin diferansiyasyonuna katkıda bulunabilir. Bu hipotez doğru ise, gurup I, II ve III piramidal nöronlarının değişik deşarj paternleri olması beklenir. Bu speküasyona uygun olarak, tonik ve fazik olmak üzere iki tip piramidal nöron ayırdı edilmiştir. Bu nöronlar muhtemelen spinal tonik ve fazik motonöronların birer eş değeridir. Ancak piramidal nöronların hücre büyülüğü deşarj ilişkisi yeter derecede araştırılamamıştır. Tan, (4) triceps surae alfa motonöronları arasında 6 tip motonöron ayırdı etmiştir.

Bu nöronlarda tonik deşarj kapasitesi artan hücre büyülüüğü ile azalma gösteriyordu.

Piramidal nöronların aksiyon potansiyeli özelliklerine bakıldığında, piramidal nöronların aksonal ileti hızlarının ekstrasellüler aksiyon potansiyeli özelliklerini yansıttığı tesbit edildi. Bununla ilgili olarak, antidromik aksiyon potansiyeli latensi ile süresi arasında pozitif bağıntı bulundu. Bu aksonal ileti hızı ile aksiyon potansiyeli süresi arasında ters ilişki bulunduğu gösterir. İstatistiksel analiz, Gurup I, II ve III nöronlarının aksiyon potansiyellerinin süreleri arasında öneşti derecede farklar bulunduğu gösterdi. Aksonal ileti hızı akson çapı ve buda hücre büyülüüğü ile doğru orantılı olduğundan (21, 22, 23, 24, 18) ekstrasellüler aksiyon potansiyellerinin süresi akson çapının ve hücre büyülüğünün bir fonksiyonudur. Bu ekstrasellüler bulgu ile uygun olarak, intrasellüler mikroelektrot araştırmalarında piramidal nöron aksiyon potansiyelinin süresi ile antidromik latens arasında pozitif korelasyon bulundu (9,10). O halde, aksonal ileti hızı ve hücre büyülüüğü ile aksiyon potansiyelinin süresi arasındaki ilişki kayıt yerine bağlı değildir.

Aksiyon potansiyeli süresi, latens ve amplitüd arasındaki ilişkinin aksine, ekstrasellüler olarak kaydedilmiş bulunan piramidal nöron aksiyon potansiyeli yüksekliği ile antidromik latens arasında negatif korelasyon bulundu. Bu ilişki üssel fonksiyonun logaritmik şeke transformasyonundan sonra doğrusal ilişkiye dönüştü. Antidromik aksiyon potansiyellerinin amplitüdleri gurup I, II ve III nöronları için istatistiksel olarak farklı bulundu. Bu bulgunun aksine, Calvin ve Sypert (9), intrasellüler kayıtlarda küçük nöronların intrasellüler aksiyon potansiyellerinin büyüklerinkinden daha büyük olduğunu ileri sürdüler. Ancak bu araştıracıların inceledikleri piramidal nöronlara ait histogramdaki çok fazla dispersiyon herhangi bir istatistiksel analiz yapılmasına olanak sağlanıyor. Bu eleştiri ile uygun olarak ve bizim bulgularımızla uygun bir şekilde, şekil 5 de gösterilen aksiyon potansiyellerinde küçük, orta ve büyük piramidal nöronların aksiyon potansiyeleri küçük, orta ve büyük olarak izlenmektedir. Ekstrasellüler aksiyon potansiyelinin yüksekliği ile aksonal ileti hızı arasında bulunan pozitif korelasyon periferik sinirlerde bulunan ilişkiye benzemektedir (22).

Bu çalışmaya teknik yönden katkıları nedeni ile C. Marangoz ve A. Bakiye teşekkür ederim.

#### KAYNAKLAR

- 1- Burke, R.E., D.N. Levine, P. Tsairis, F.E. Zajac: Physiological types and histochemical profiles in motor units of cat gastrocnemius. *j. Physiol. (Lond)* 234: 723-748 (1973).
- 2- Henneman, E., C.B. Olson: Relations between structure and function in the design of skeletal muscles. *j. Neurophysiol.* 28: 581-598 (1965).

- 3- Tan, Ü.: Firing rate and size distribution of the bind limb extensor and flexor motoneuronal units. *Pflügers Arch.* 357: 1101-1125 (1975).
- 4- Tan, Ü., S. Yörük, A.Y. Rüdvanağaoğlu: A quantitative analysis of the motoneuronal depression produced by increasing the stimulus parameters of afferent tetanization. *Pflügers Arch.* 333: 240-257 (1972).
- 5- Bessou, P., F. Emonet-Donand, Y. Laports: Relation entre la vitesse de conduction des fibres neurèuses motrices et le temps de contraction de leurs unités motrices. *C.R. Acad. Sci. (Paris)* 256: 5625-5627 (1963).
- 6- Bagust, J., S. Knott, D.M. Lewis, J.C. Luck, R.A. Westerman: Isometric contractions of motor units in a fast twich muscle of the cat. *J. Physiol. (London)* 231: 87-104 (1973).
- 7- Buller, A. J., J.C. Eccles, R.M. Eccles: Interactions between motoneurones and muscles in respect of the characteristic speeds of their responses. *J. Physiol. (London)* 150: 417-439 (1960).
- 8- Henmeman, E., G.G. Somjen, D.O. Carpenter: Functional significance of cell size in spinal motoneurons. *J. Neurophysiol.* 28: 560-580 (1965).
- 9- Calvin, W.H., G.W. Sypert: Fast and slow pyramidal tract neurons: an intracellular analysis of their contrasting repetitive firing properties in the cat. *J. Neurophysiol.* 39: 420-434 (1976).
- 10- Takahashi, K.: Slow and fast groups of pyramidal tract cells and their respective membrane properties. *J. Neurophysiol.* 28: 908-924 (1965).
- 11- Asanuma, H.: Microelectrode studies on the evoked activity of a single pyramidal tract cell in the somato-sensory area in cats. *Jap. J. Physiol.* 9: 94-105 (1959).
- 12- Bishop, P.D., D. Jeremy, J.W. Lance: Properties of pyramidal tract. *J. Neurophysiol.* 16: 534-550 (1953).
- 13- Takahashi, K., K. Kubota, M. Uno: Recurrent facilitation in cat pyramidal tract cells. *J. Neurophysiol.* 30: 22-34 (1967).
- 14- Towe, A.L., H.D. Patton, T.T. Kennedy: Properties of the pyramidal system in the cat. *Exp. Neurol.* 18: 220-238 (1963).
- 15- Woolsey, C.N., H.T. Chang: Activation of cerebral cortex in antidromic volleys in pyramidal tract. *Res. Publ. Assoc. Nerv. Ment. Dis.* 27: 146-161 (1948).
- 16- Jabbur, S.J., A.L. Towe: Analysis of the antidromic cortical response following stimulation at the medullary pyramids. *J. Physiol. (London)* 155: 148-160 (1961).
- 17- Towe, A.L., G.W. Harding: Extrasellular microelectrode sampling bias. *Exp. Neurol.* 29: 366-381 (1970).

- 18-Ramon Y Cajal, S.: Histologie du Système Nerveux de l'Homme et des Vertebrés. Vol. II. Maloine, Paris. (1909).
- 19-Biber, M.P., L.W. Kneisley, J.H. Lavail: Cortical neurons projecting to the cervical and lumbar enlargements of the spinal cord in young and adult rhesus monkeys. *Exp. Neurol.* 59: 492-508 (1978).
- 20-Gross, W.P., L.K. Ewing, C.M. Carter, J.D. Coulter: Organization of corticospinal neurons in the cat. *Brain Res.* 143:393-414 (1978).
- 21-Gasser, H.S., H. Grundfest: Axon diameters in relation to the spike dimensions and the conduction velocity in mammalian A fibers. *Am. J. Physiol.* 127: 393-414 (1939).
- 22-Hursh, J.B.: Conduction velocity and diameter of nerve fibers. *Am. J. Physiol.* 127: 131-139 (1939).
- 23-Hodes, R.: Selective destruction of large motoneurons by poliomyelitis virus: conduction velocity of motor nerve fibers of chronic poliomyelitis patients. *J. Neurophysiol.* 12: 257-266 (1949).
- 24-Hodes, R., S.M. Peacock, D. Bodian: Selective destruction of large motoneurons by poliomyelitis virus: size of motoneurons in spinal cord of rhesus monkeys. *J. Neuropathol. Exp. Neurol.* 8: 400-410 (1949).

#### SUMMARY

#### *Antidromic Response Latency Distribution of Cat Pyramidal Tract Cells: Three Groups with Respective Extracellular Spike Properties*

The antidromic extracellular action potentials of 470 pyramidal tract (PT) neurons were recorded after stimulation of the ipsilateral medullary pyramid in pentobarbital-anesthetized cats. The amplitude of the antidromic action potentials of PT cells was inversely related to their antidromic spike latencies. The duration of the antidromic spike was a linear function of the antidromic latency. There was a negative correlation between the amplitude of antidromic spike and its duration. Three groups were distinguished in the latency histogram, indicating that the PT neurons can be separated into three groups; group I (F-fast, large), group II (S-intermediate, medium size), and group III (SII-very slow, small). The latencies and conduction velocities of neurons in group, I, II, and III were respectively 0.45 to 1.9 (25.26 to 106.7), 2.09 to 4.2 (11.16 22.97), and 4.24 to 7.95 ms (6.05 to 11.14 m/s). Two waves were recorded from the cortical surface before insertion of the microelectrode into the cerebral cortex. Three waves appeared as the microelectrode was advanced into the cortex to the depth of 150 or 200 m. The time course of these three waves coincided with that of three PT cell groups in each particular experiment. We suggest that cortical, spinal, and muscular motor units may be interrelated with regard to size and function.